

ESTUDO DE REGIÕES PROPÍCIAS AO APROVEITAMENTO DA ENERGIA EÓLICA NO
ESTADO DE SÃO PAULO. I. RESULTADOS PRELIMINARES DE TRÊS LOCALIDADES

CLOVIS ALBERTO VOLPE¹, CLEMENTINA DE LURDES FULACHI DELLA LIBERA¹,
EUCLIDES BRAGA MALHEIROS¹, ROMISIO GERALDO BOUHID ANDRÉ¹, TETSUO NISHIMURA¹

RESUMO - Este estudo tem como objetivos determinar as regiões e épocas propícias ao aproveitamento da energia eólica no Estado de São Paulo, utilizando-se observações de velocidade e direção do vento no período de 1979-1983. Foram selecionadas 35 estações meteorológicas do Estado de São Paulo que possuem anemógrafos com sensores a 10 m de altura. São apresentadas as curvas de duração da velocidade do vento, o produto $v^3 \cdot t$ (diretamente proporcional à energia disponível) e a potência por unidade de área para diversas classes de velocidade do vento para as localidades de Campos do Jordão, Votuporanga e Ibitinga. São, também, apresentadas as distribuições de frequência de ocorrências de oito direções do vento para a localidade de Votuporanga.

SITES OF POWER WIND IN SÃO PAULO STATE, BRAZIL.

I. PRELIMINARY RESULTS FOR THREE LOCATIONS

ABSTRACT ~ This work deals to choose where and when the power wind can be used as an energy source in the State of São Paulo, Brazil. The used data are direction and speed wind measurement at 10 m high, obtained in 35 meteorological stations with 5 years recorder from 1979 to 1983. The wind speed duration curves, available energy ($v^3 \cdot t$), power by unit area for different range of wind speed were showed for three locations, namely: Campos do Jordão, Votuporanga e Ibitinga. Frequencies distribution for the eights direction were showed for Votuporanga.

¹Professores do Departamento de Ciências Exatas da Faculdade de Ciências Agrárias e Veterinárias - UNESP: 14870 - Jaboticabal - SP.

INTRODUÇÃO

O sucesso da energia eólica para fins agrícolas depende fundamentalmente da escolha do local para a instalação do aeromotor. Essa escolha se baseia na estimativa do potencial energético eólico feita com base nos dados de velocidade média do vento, obtidos através de anemógrafos (MIALHE, 1980).

Um levantamento do potencial eólico que possibilitasse conhecer parâmetros que levassem à utilização dessa energia a nível de propriedade rural seria extremamente útil.

Segundo CEBALLOS *et alii* (1982), as principais limitações ao se tentar estimar o potencial eólico de uma determinada região são: o potencial eólico depende de situações sinóticas regionais, da topografia e da localização das estações onde são efetuadas as medidas; normalmente a velocidade do vento é determinada somente em horários sinóticos (3 horários), não havendo padronização da altura do sensor e são escassas as séries temporais com freqüência e duração suficientes.

Para o Estado de São Paulo não se tem conhecimentos da realização de levantamentos do potencial eólico utilizando-se de dados de velocidade média horária do vento. A determinação do potencial energético eólico do Estado de São Paulo estaria nortiada pelas seguintes hipóteses: a) o Estado de São Paulo apresenta potencial eólico que deve ser conhecido e aproveitado; b) existem regiões do Estado de São Paulo que são propiciais ao aproveitamento da energia eólica; c) os níveis de maior valor energético variam de região para região em função da época do ano.

A direção do vento é outro aspecto importante que deve ser considerado, não em relação à energia eólica, mas sim quanto às fontes poluidoras do ar. A determinação da direção predominante do vento, assim como do seu desvio-padrão é importante quando se pretende utilizar modelos simulados para estudos da qualidade do ar. Por isso, é fundamental que esses parâmetros sejam calculados, usando-se os métodos que apresentam maior acurácia (TURNER, 1986).

Dessa maneira, pretende-se neste trabalho apresentar os resultados preliminares de três localidades do Estado de São Paulo, quanto ao potencial eólico, quanto às curvas de duração da velocidade do vento e quanto à freqüência da direção do vento.

MATERIAL E MÉTODOS

Estão sendo utilizados anemogramas de 35 estações meteorológicas do Estado de São Paulo, pertencentes ao DAEE, INEMET e IAC (Tabela 1 e Figura 1). Os dados são retirados desses anemogramas (valores horários de duração e velocidade) cujos sensores estão a 10 m de altura. O período escolhido foi de 1979/1983.

A determinação do potencial energético eólico de cada localidade abrange as seguintes etapas:

- a) tabulação da velocidade média horária do vento, de hora em hora, resultando em 8760 dados/ano;
- b) tabulação dos dados distribuídos em freqüência da velocidade do vento, para intervalos de $0,5 \text{ m.s}^{-1}$, a partir de $0,5 \text{ m.s}^{-1}$;
- c) cálculo do número de horas, durante o ano, em que cada velocidade média, dentro do intervalo estabelecido, manteve-se igual ou maior ao nível considerado;
- d) cálculo do produto $v^3 \cdot t$ (este produto é diretamente proporcional à energia mecânica disponível na instalação eólica);
- e) determinação da velocidade nominal;
- f) curvas de duração da velocidade do vento;
- g) cálculo da potência por unidade de área, para cada velocidade média, dentro do intervalo considerado.

A potência por unidade de área foi determinada pela expressão (PUTNAM, 1949):

$$\frac{P}{A} = \frac{1}{2} \cdot \rho \cdot v^3,$$

sendo P a potência (kW), A a área projetada para o cata-vento (m^2); ρ a densidade do ar ($1,29 \text{ kg.m}^{-3}$) e v a velocidade do vento (m.s^{-1}). Desse modo uma constante de proporcionalidade adimensional é introduzida para se ter os dados de potência em kW/m^2 (MIALHE, 1980).

$$\frac{P}{A} = 0,0064 \cdot v^3.$$

Foi determinada a distribuição em porcentagem de ocorrência do vento para oito direções.

TABELA 1 - Localidades do Estado de São Paulo que serão utilizadas para a determinação do potencial eólico.

Local	Lat. (S)	Long. (W)	Alt. (m)	Fonte
01- Votuporanga	20°25'	49°59'	503	DAEE
02- Catanduva	21°08'	48°58'	536	INMET
03- Ribeirão Preto	21°11'	47°43'	621	IAC
04- Jaboticabal	21°15'	48°18'	595	INMET
05- Pradópolis	21°22'	48°04'	526	DAEE
06- Graminha	21°34'	46°37'	868	DAEE
07- Limoeiro	21°37'	47°00'	578	DAEE
08- Ibitinga	21°45'	49°00'	413	DAEE
09- São Carlos	22°01'	47°54'	856	INMET
10- Bariri	22°06'	48°45'	445	DAEE
11- Presidente Prudente	22°07'	51°23'	436	INMET
12- Jaú	22°17'	48°33'	580	INMET
13- Campininha	22°18'	47°11'	600	DAEE
14- Barra Bonita	22°30'	48°34'	456	DAEE
15- Limeira	22°31'	47°25'	689	IAC
16- Assis	22°39'	50°25'	350	INMET
17- Piracicaba	22°43'	47°38'	574	IAC
18- Campos do Jordão	22°44'	45°35'	1600	DAEE
19- Botucatu	22°52'	48°27'	825	DAEE
20- Campinas	22°54'	47°05'	706	IAC
21- Salto Grande	22°54'	50°00'	418	DAEE
22- Pindamonhangaba	22°55'	45°30'	565	DAEE
23- Tremembé	22°58'	45°33'	545	IAC
24- Tietê	23°00'	47°43'	539	IAC
25- Jurumirim	23°13'	49°14'	568	DAEE
26- Ubatuba	23°26'	45°06'	8	IAC
27- Sorocaba	23°29'	47°27'	631	INMET
28- São Paulo	23°30'	46°37'	792	INMET
29- Casa Grande	23°40'	46°56'	820	DAEE
30- Santos	23°56'	46°20'	16	INMET
31- Capão Bonito	24°00'	48°20'	-	INMET
32- Juquiá	24°20'	47°37'	67	DAEE
33- Iguape	24°43'	47°33'	3	IAC
34- Itararé	27°37'	48°27'	-	IAC
35- Pontal	27°37'	52°10'	270	DAEE

RESULTADOS E DISCUSSÕES

Os resultados apresentados referem-se às localidades de Campos do Jordão ($22^{\circ}42' S$; $45^{\circ}29' W$, 1566 m); Votuporanga ($20^{\circ}26' S$; $49^{\circ}59' W$, 510 m) e Ibitinga ($21^{\circ}45' S$; $44^{\circ}00' W$, 413 m), para o período entre 1979 e 1983. Os relativos à direção do vento referem-se apenas a Votuporanga e para o ano de 1979.

Nas Tabelas 2 e 3 encontram-se, respectivamente, para 1 e 2 horas, a divisão, em classes de $0,5 \text{ m.s}^{-1}$, da velocidade do vento; o valor v^3 ; a freqüência de ocorrência; o tempo de ocorrência; o produto $v^3.t$; e a potência da velocidade média do vento, dentro de cada classe, por unidade de área (kW.m^{-2}), para a localidade de Campos do Jordão. Nas Tabelas 4 e 5 encontram-se esses mesmos dados para a localidade de Votuporanga e nas Tabelas 6 e 7 para Ibitinga. Para as 24 horas do dia e para essas três localidades, os resultados encontram-se, respectivamente, nas Tabelas 8, 9 e 10.

As curvas de duração da velocidade do vento, para às 2 horas, para as localidades de Campos do Jordão, Votuporanga e Ibitinga, encontram-se, respectivamente, nas Figuras 2, 3 e 4. Considerando-se as 24 horas do dia, essas curvas se encontram nas Figuras 5, 6 e 7.

Através da Tabela 11 nota-se que nas três localidades os maiores valores de $v^3.t$ (diretamente proporcional à energia disponível) ocorrem entre 10 e 16 horas. Considerando-se todo o período (24 horas), o maior valor de $v^3.t$ foi encontrado em Ibitinga (52328,53), segundo de Votuporanga (51086,95) e de Campos do Jordão (38443,36).

Analizando-se a Figura 8, percebe-se que as curvas de duração da velocidade do vento para Votuporanga e Ibitinga se sobrepõem. Nota-se, também, que para uma mesma velocidade do vento, o tempo de duração é maior para Votuporanga e Ibitinga do que para Campos do Jordão. Considerando-se um aeromotor, cuja velocidade inicial de trabalho seja $1,5 \text{ m.s}^{-1}$, em Campos do Jordão, esse aeromotor terá para o seu funcionamento 82% do tempo disponível, enquanto que em Votuporanga e Ibitinga, o mesmo terá 97% do tempo disponível.

A velocidade nominal, ou seja a velocidade que maximiza o produto $v^3.t$ foi de $2,25 \text{ m.s}^{-1}$ nas três localidades.

As Figuras 9 a 20 mostram a distribuição em percentagem de ocorrência da direção do vento durante os meses do ano de 1979 para Votuporanga. Nota-se que em todos os meses, com exceção de abril, setembro e outubro, a direção predominante o vento foi a NE e SE. Considerando-se o ano todo a direção predominante foi NE seguido de SE, como mostra a Figura 21.

TABELA 2 - Potencial energético eólico de Campos do Jordão ($22^{\circ}44'(\text{S}) - 45^{\circ}35'(\text{W})$ - 1600 m), horário: 1 hora.

Classes	Velocidade v (m/s)	v^3	Freqüência	Tempo de ocorrência	$v^3 \cdot t$	Potênci a kW/un. área
< 0,5			0			
0,5 - 1,0	0,75	0,42	58	365	153,98	0,0003
1,0 - 1,5	1,25	1,95	132	307	599,61	0,0012
1,5 - 2,0	1,75	5,36	103	175	937,89	0,0034
2,0 - 2,5	2,25	11,39	51	72	820,12	0,0073
2,5 - 3,0	2,75	20,80	14	21	436,73	0,0133
3,0 - 3,5	3,25	34,33	5	7	240,30	0,0220
3,5 - 4,0	3,75	52,73	1	2	105,47	0,0337
4,0 - 4,5	4,25	76,77	1	1	76,77	0,0491

Velocidade nominal = 1,75 m/s

TABELA 3 - Potencial energético eólico de Campos do Jordão ($22^{\circ}44'(\text{S}) - 45^{\circ}35'(\text{W})$ - 1600 m), horário: 2 horas.

Classes	Velocidade v (m/s)	v^3	Freqüência	Tempo de ocorrência	$v^3 \cdot t$	Potênci a kW/un. área
< 0,5			0			
0,5 - 1,0	0,75	0,42	46	365	153,98	0,0003
1,0 - 1,5	1,25	1,95	125	319	623,05	0,0012
1,5 - 2,0	1,75	5,36	140	194	1039,72	0,0034
2,0 - 2,5	2,25	11,39	43	54	615,09	0,0073
2,5 - 3,0	2,75	20,80	8	11	228,77	0,0133
3,0 - 3,5	3,25	34,33	0	3	102,98	0,0220
3,5 - 4,0	3,75	52,73	2	3	158,20	0,0337
4,0 - 4,5	4,25	76,77	1	1	76,77	0,0491

Velocidade nominal = 1,75 m/s

TABELA 4 - Potencial energético eólico de Votuporanga ($20^{\circ}26'(\text{S}) - 49^{\circ}59'(\text{W}) - 510 \text{ m}$), horário: 1 hora.

Classes	Velocidade v (m/s)	v^3	Freqüência	Tempo de ocorrência	$v^3 \cdot t$	Potênci a kW/un. área
< 0,5		0	0	0	0	0,0003
0,5 - 1,0	0,75	0,42	6	365	153,98	0,0003
1,0 - 1,5	1,25	1,95	78	359	701,17	0,0012
1,5 - 2,0	1,75	5,36	130	281	1505,98	0,0034
2,0 - 2,5	2,25	11,39	96	151	1719,98	0,0073
2,5 - 3,0	2,75	20,80	44	55	1143,83	0,0133
3,0 - 3,5	3,25	34,33	9	11	377,61	0,0220
3,5 - 4,0	3,75	52,73	2	2	105,47	0,0337

Velocidade nominal = 2,25 m/s

TABELA 5 - Potencial energético eólico de Votuporanga ($20^{\circ}26'(\text{S}) - 49^{\circ}59'(\text{W}) - 510 \text{ m}$), horário: 2 horas.

Classes	Velocidade v (m/s)	v^3	Freqüência	Tempo de ocorrência	$v^3 \cdot t$	Potênci a kW/un. área
< 0,5		0	0	0	0	0,0003
0,5 - 1,0	0,75	0,42	4	365	153,98	0,0003
1,0 - 1,5	1,25	1,95	52	361	705,08	0,0012
1,5 - 2,0	1,75	5,36	139	309	1656,05	0,0034
2,0 - 2,5	2,25	11,39	108	170	1936,41	0,0073
2,5 - 3,0	2,75	20,80	46	62	1289,41	0,0133
3,0 - 3,5	3,25	34,33	9	16	549,25	0,0220
3,5 - 4,0	3,75	52,73	6	7	369,14	0,0337
4,0 - 4,5	4,25	76,77	1	1	76,77	0,0491

Velocidade nominal = 2,25 m/s

TABELA 6 - Potencial energético eólico de Ibitinga ($21^{\circ}45'(\text{S}) - 49^{\circ}00'(\text{W})$ ~ 413 m), horário: 1 hora.

Classes	Velocidade v (m/s)	v^3	Freqüência	Tempo de ocorrência	$v^3 \cdot t$	Potênci área kw/un. área
< 0,5			0			
0,5 - 1,0	0,75	0,42	6	365	153,98	0,0093
1,0 - 1,5	1,25	1,95	59	359	701,17	0,0012
1,5 - 2,0	1,75	5,36	116	300	1607,81	0,0034
2,0 - 2,5	2,25	11,39	107	184	2095,87	0,0073
2,5 - 3,0	2,75	20,80	58	77	1601,36	0,0133
3,0 - 3,5	3,25	34,33	14	19	652,23	0,0220
3,5 - 4,0	3,75	52,73	4	5	263,67	0,0337
4,0 - 4,5	4,25	76,77	1	1	76,77	0,0491

Velocidade nominal = 2,25 m/s

TABELA 7 - Potencial energético eólico de Ibitinga ($21^{\circ}45'(\text{S}) - 49^{\circ}00'(\text{W})$ ~ 413 m), horário: 2 horas.

Classes	Velocidade v (m/s)	v^3	Freqüência	Tempo de ocorrência	$v^3 \cdot t$	Potênci área kw/un. área
< 0,5			0			
0,5 - 1,0	0,75	0,42	8	365	153,98	0,0093
1,0 - 1,5	1,25	1,95	47	357	697,27	0,0012
1,5 - 2,0	1,75	5,36	124	310	1661,41	0,0034
2,0 - 2,5	2,25	11,39	104	136	2118,66	0,0073
2,5 - 3,0	2,75	20,80	61	82	1705,34	0,0133
3,0 - 3,5	3,25	34,33	19	21	720,89	0,0220
3,5 - 4,0	3,75	52,73	2	2	105,47	0,0337

Velocidade nominal = 2,25 m/s

TABELA 8 - Potencial energético eólico de Campos do Jordão ($22^{\circ}44'(\text{S}) - 45^{\circ}35'(\text{W})$ - 1600 m), total diário: 24 horas.

Classes	Velocidade v (m/s)	v^3	Freqüência	Tempo de ocorrência	$v^3 \cdot t$	Potênci kW/un. área
< 0,5		0	0			
0,5 - 1,0	0,75	0,42	597	8760	3695,62	0,0003
1,0 - 1,5	1,25	1,95	2155	8163	15943,36	0,0012
1,5 - 2,0	1,75	5,36	2633	6008	32199,12	0,0034
2,0 - 2,5	2,25	11,39	1986	3375	38443,36	0,0073
2,5 - 3,0	2,75	20,80	1000	1389	28886,86	0,0133
3,0 - 3,5	3,25	34,33	302	389	13353,64	0,0220
3,5 - 4,0	3,75	52,73	60	87	4587,89	0,0337
4,0 - 4,5	4,25	76,77	21	27	2072,67	0,0491
4,5 - 5,0	4,75	107,17	3	6	643,03	0,0686
5,0 - 5,5	5,25	144,70	1	3	434,11	0,0926
5,5 - 6,0	5,75	190,11	0	2	380,22	0,1217
6,0 - 6,5	6,25	244,14	1	2	488,28	0,1562
6,5 - 7,0	6,75	307,55	0	1	307,55	0,1968
7,0 - 7,5	7,25	381,08	1	1	381,08	0,2439

Velocidade nominal = 2,25 m/s

TABELA 9 - Potencial energético eólico de Votuporanga ($20^{\circ}26' S$ - $49^{\circ}59' W$ - 510 m), total diário: 24 horas.

Classes	Velocidade v (m/s)	v^3	Freqüência	Tempo de ocorrência	$v^3 \cdot t$	Potênci a kW/un. área
< 0,5		0		0		
0,5 - 1,0	0,75	0,42	115	8760	3695,62	0,0003
1,0 - 1,5	1,25	1,95	1289	8645	16884,77	0,0012
1,5 - 2,0	1,75	5,36	2871	7356	39423,56	0,0034
2,0 - 2,5	2,25	11,39	2616	4485	51086,95	0,0073
2,5 - 3,0	2,75	20,80	1343	1869	38889,36	0,0133
3,0 - 3,5	3,25	34,33	420	526	18056,59	0,0220
3,5 - 4,0	3,75	52,73	88	106	5589,84	0,0337
4,0 - 4,5	4,25	76,77	18	18	1381,78	0,0491

Velocidade nominal = 2,25 m/s

TABELA 10 - Potencial energético eólico de Ibitinga ($21^{\circ}45'(\text{S})$ - $49^{\circ}00'(\text{W})$ - 413 m), total diário: 24 horas.

Classes	Velocidade v (m/s)	v^3	Freqüência	Tempo de ocorrência	$v^3 \cdot t$	Potênciia kW/un. área
< 0,5		0				
0,5 - 1,0	0,75	0,42	110	8760	3695,62	0,0003
1,0 - 1,5	1,25	1,95	1118	8650	16894,53	0,0012
1,5 - 2,0	1,75	5,36	2938	7532	40366,81	0,0034
2,0 - 2,5	2,25	11,39	2827	4594	52328,53	0,0073
2,5 - 3,0	2,75	20,80	1333	1767	36748,08	0,0133
3,0 - 3,5	3,25	34,33	360	434	14898,41	0,0220
3,5 - 4,0	3,75	52,73	49	74	3902,34	0,0337
4,0 - 4,5	4,25	76,77	15	25	1919,14	0,0491
4,5 - 5,0	4,75	101,17	3	10	1071,72	0,0686
5,0 - 5,5	5,25	144,70	0	7	1012,92	0,0926
5,5 - 6,0	5,75	190,11	3	7	1330,77	0,1217
6,0 - 6,5	6,25	244,14	0	4	976,56	0,1562
6,5 - 7,0	6,75	307,55	0	4	1230,19	0,1985
7,0 - 7,5	7,25	381,08	0	4	1524,31	0,2439
7,5 - 8,0	7,75	465,48	2	4	1861,94	0,2979
8,0 - 8,5	8,25	561,52	0	2	1123,03	0,3594
8,5 - 9,0	8,75	669,92	0	2	1339,84	0,4287
9,0 - 9,5	9,25	791,45	0	2	1582,91	0,5065
9,5 - 10,0	9,75	926,86	1	2	1853,72	0,5932
10,0 - 10,5	10,25	1076,89	1	1	1076,89	0,6892

Velocidade nominal = 2,25 m/s

TABELA 11 - Produto $v^3 \cdot t$ correspondente a velocidade nominal horária, em três localidades do Estado de São Paulo.

Hora	Velocidade nominal ($m.s^{-1}$)			$v^3 \cdot t$		
	C. Jordão	Votuporanga	Ibitinga	C. Jordão	Votuporanga	Ibitinga
1	1,75	2,25	2,25	820,12	1719,98	2095,87
2	1,75	2,25	2,25	1039,72	1936,41	2118,66
3	1,75	2,25	2,25	1093,31	1754,16	2084,48
4	1,75	2,25	2,25	1071,87	2016,14	1902,23
5	1,75	2,25	2,25	959,33	2232,56	1765,55
6	1,75	2,25	2,25	991,48	1981,97	1822,50
7	1,75	2,25	2,25	959,33	2357,86	1811,11
8	1,75	2,25	2,25	1345,20	2710,97	2300,91
9	1,75	2,25	2,25	1034,36	2824,87	2221,17
10	2,25	2,75	2,25	2859,05	3847,42	2779,31
11	2,75	2,75	2,25	3743,44	3785,03	2893,22
12	2,75	2,75	2,25	3889,02	3285,91	2904,61
13	2,75	2,25	2,25	3909,81	2881,83	2528,72
14	2,75	2,25	2,25	3743,44	2597,06	2631,23
15	2,25	2,25	2,25	2904,61	2460,37	2676,80
16	2,25	2,25	2,25	2916,00	2266,73	2574,28
17	2,25	2,25	2,25	1970,58	1788,33	2448,98
18	1,75	1,75	2,25	1313,05	1302,33	1936,41
19	1,75	1,75	2,25	1259,45	1296,97	1776,94
20	1,75	1,75	2,25	1077,23	1302,33	1560,52
21	1,75	1,75	1,75	937,89	1334,48	1861,94
22	1,75	2,25	2,25	1034,36	1503,56	1822,50
23	1,75	2,25	2,25	1082,58	1685,81	2038,92
24	1,75	1,75	2,25	937,89	1505,98	1970,58
Dia	2,25	2,25	2,25	38443,36	51086,95	52328,53

CONCLUSÕES

Os resultados alcançados até agora evidenciam a necessidade de se prosseguir na análise dos dados das outras localidades de São Paulo, uma vez que ocorrem variações tanto de local para local como, também, devido à época do ano.

Para as três localidades já estudadas, os maiores valores de $v^3 \cdot t$ (diretamente proporcional à energia disponível) ocorrem entre 10 e 16 horas.

REFERÊNCIAS

- CEBALLOS, S.C.; BASTOS, J.B.; LUCENA, G.H. Potencial Eólico do Nordeste Brasileiro. *Anais do 2º CEMET*, Pelotas, RS, 1982.
- MIALHE, L.G. *A energia dos ventos*. In: Máquinas Motoras na Agricultura. Vol. 1. EPU/EDUSP, São Paulo, 1980. 289 p.
- PUTNAM, P.C. *Power from the wind*. D. Van Nostrand Company, Inc., 1949. 224 p.
- TURNER, D.B. Comparison of three methods for calculating the standard deviation of wind direction. *J. Climate Appl. Meteor.*, 25:703-707, 1986.

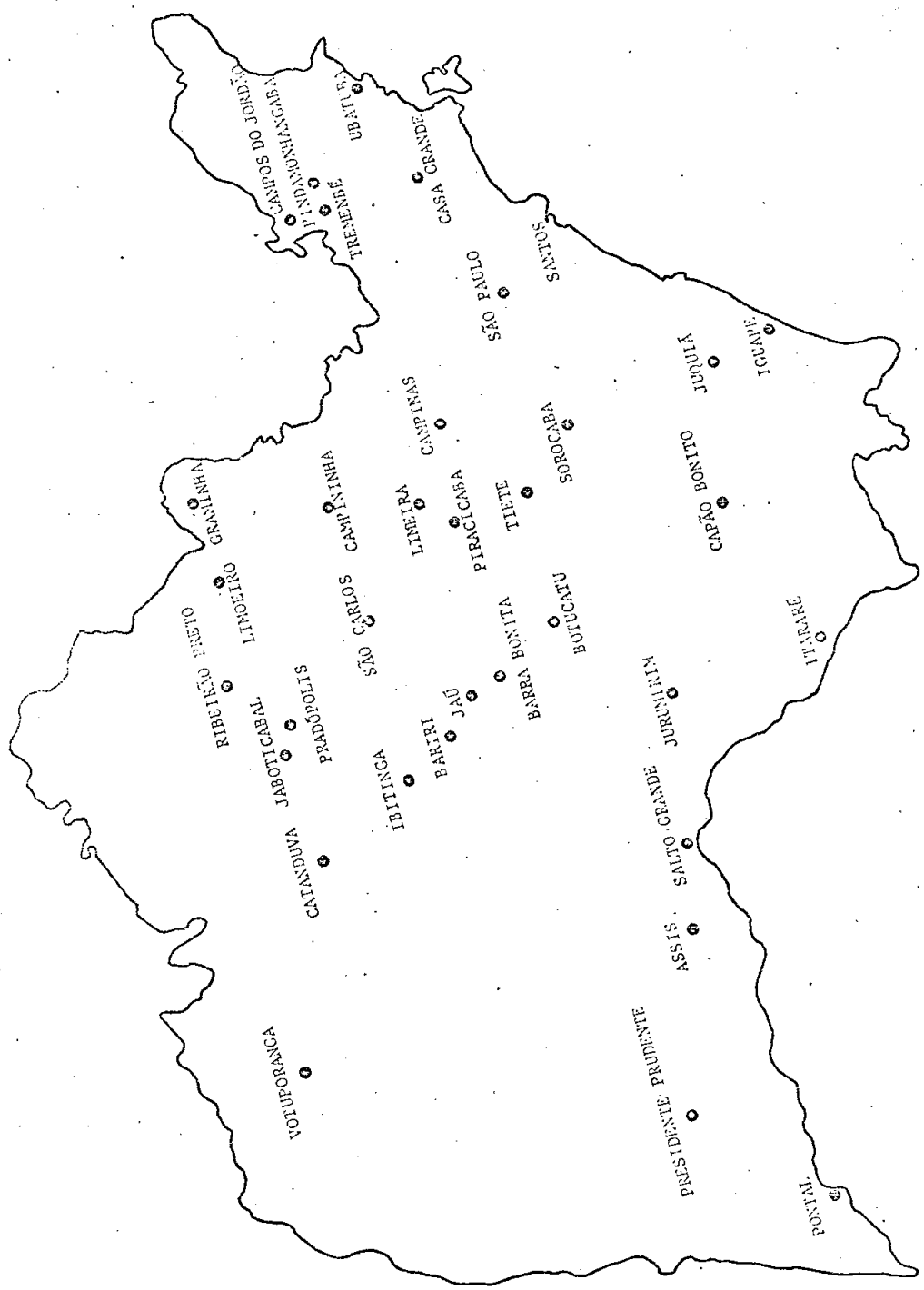


FIGURA 1 - Localidades do Estado de São Paulo que serão utilizadas para a determinação do potencial eólico.

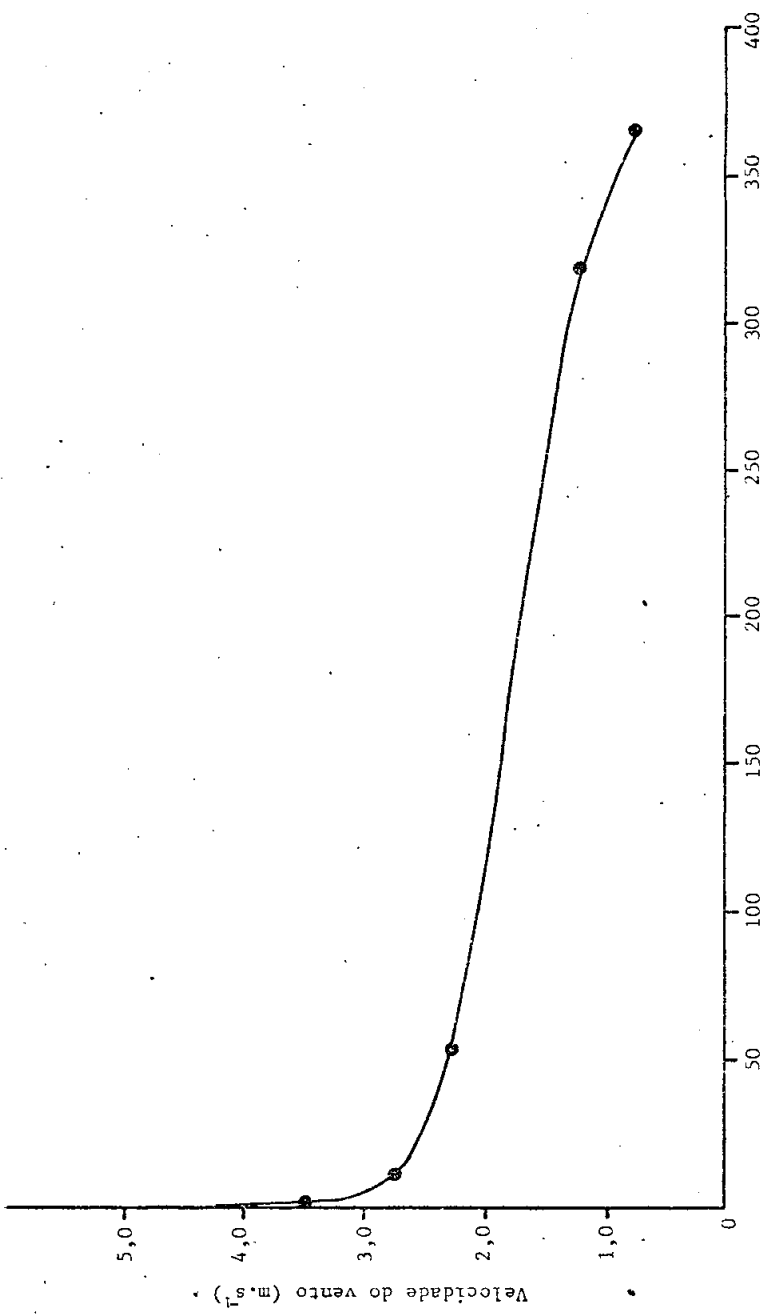


FIGURA 2 - Curva de duração da velocidade do vento para Campos do Jordão (horário - 2 horas).

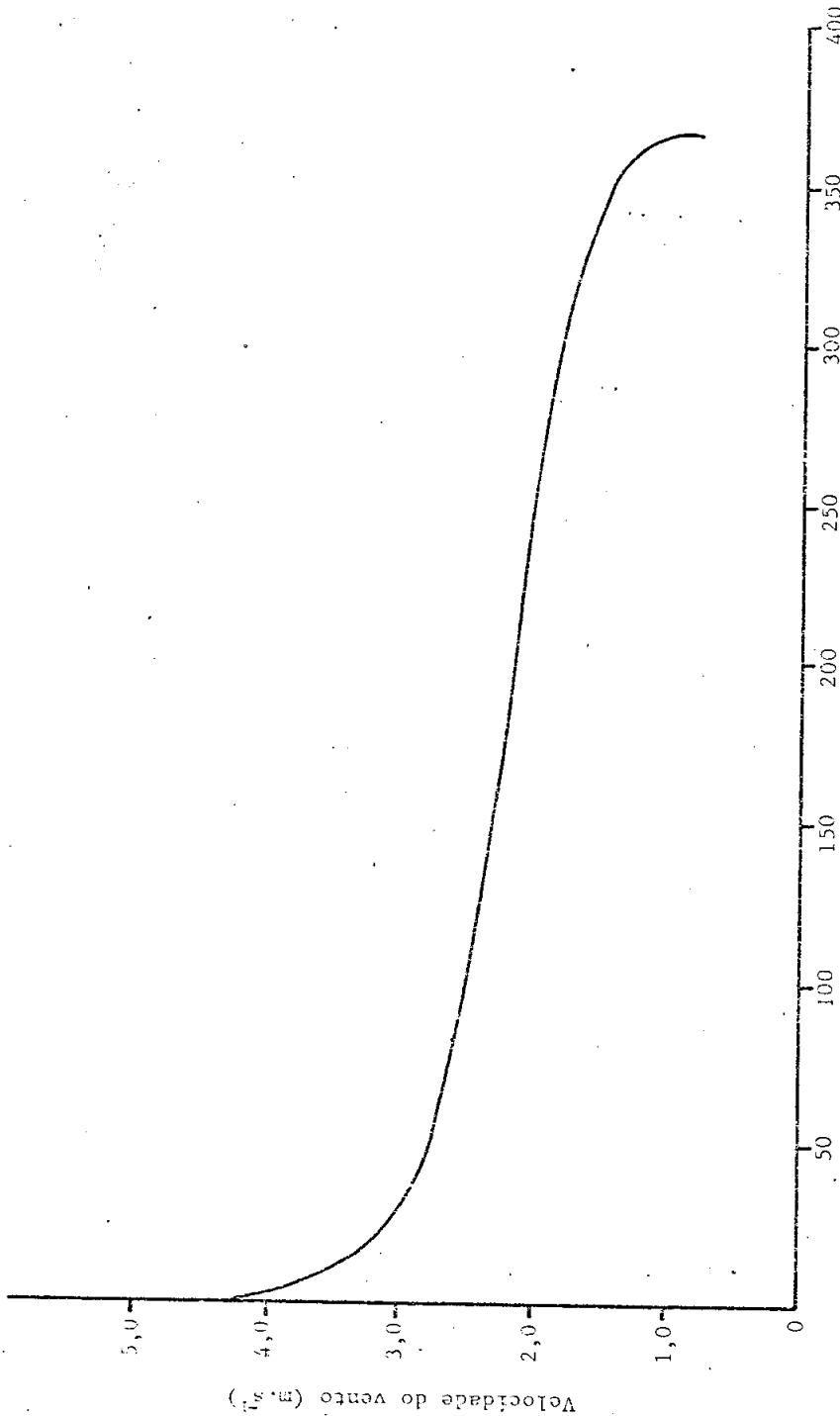


FIGURA 3 - Curva de duração da velocidade do vento para Votuporanga (horário - 2 horas).

Total de horas em 1 ano

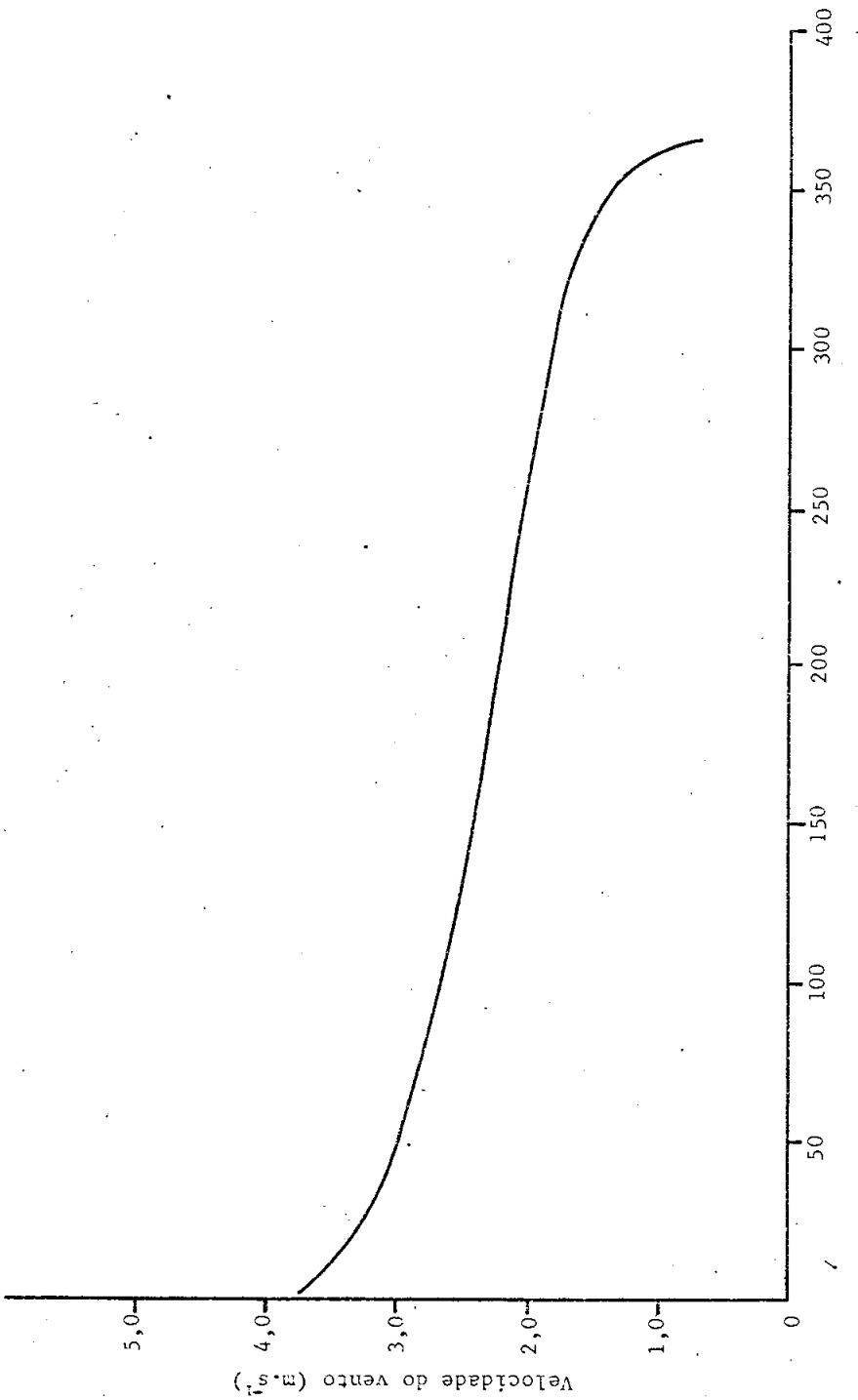


FIGURA 4 - Curva de duração da velocidade do vento para Ibitinga (horário - 2 horas).

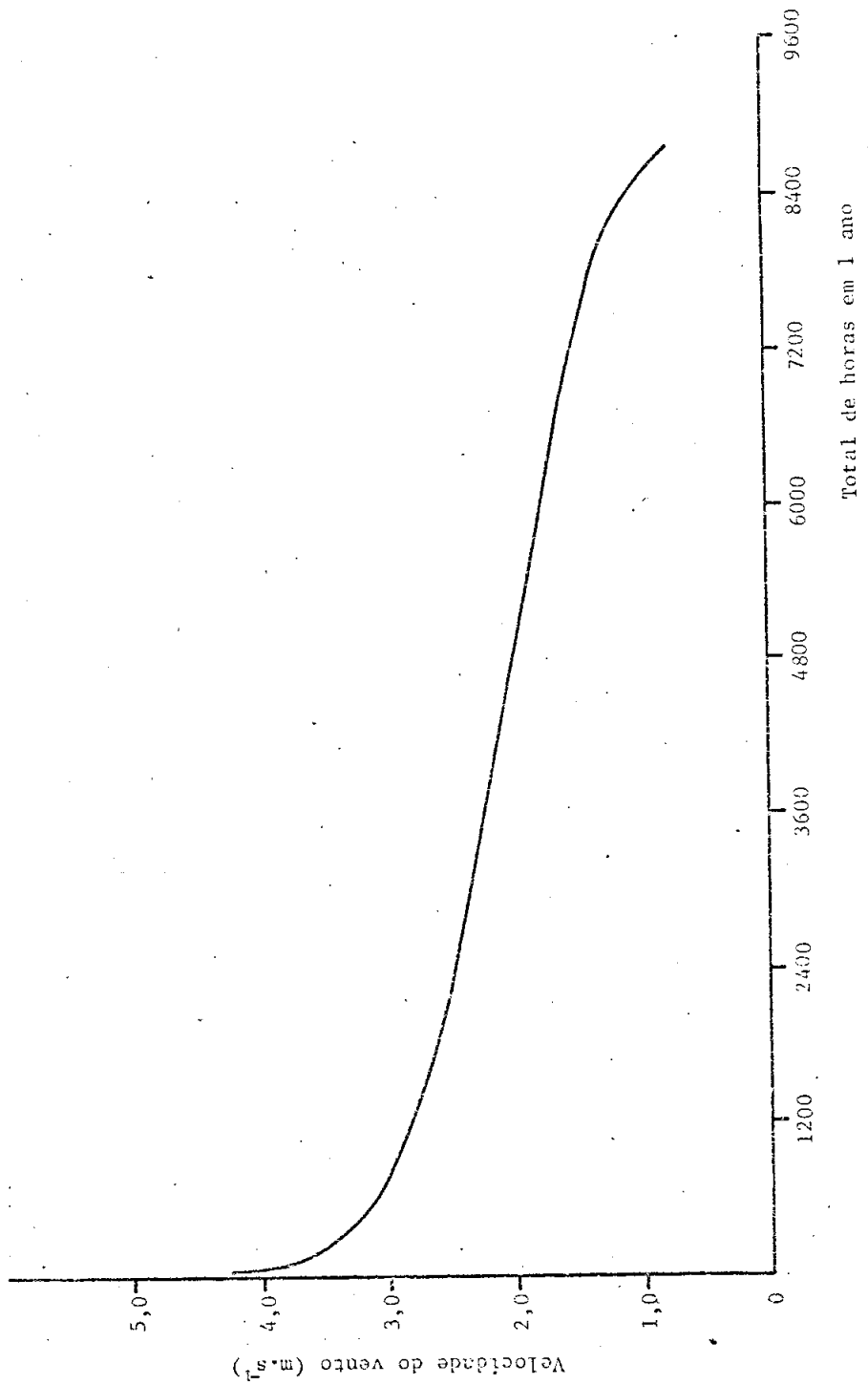


FIGURA 5 - Curva de duração da velocidade do vento para Campos do Jordão (total diário = 24 horas).

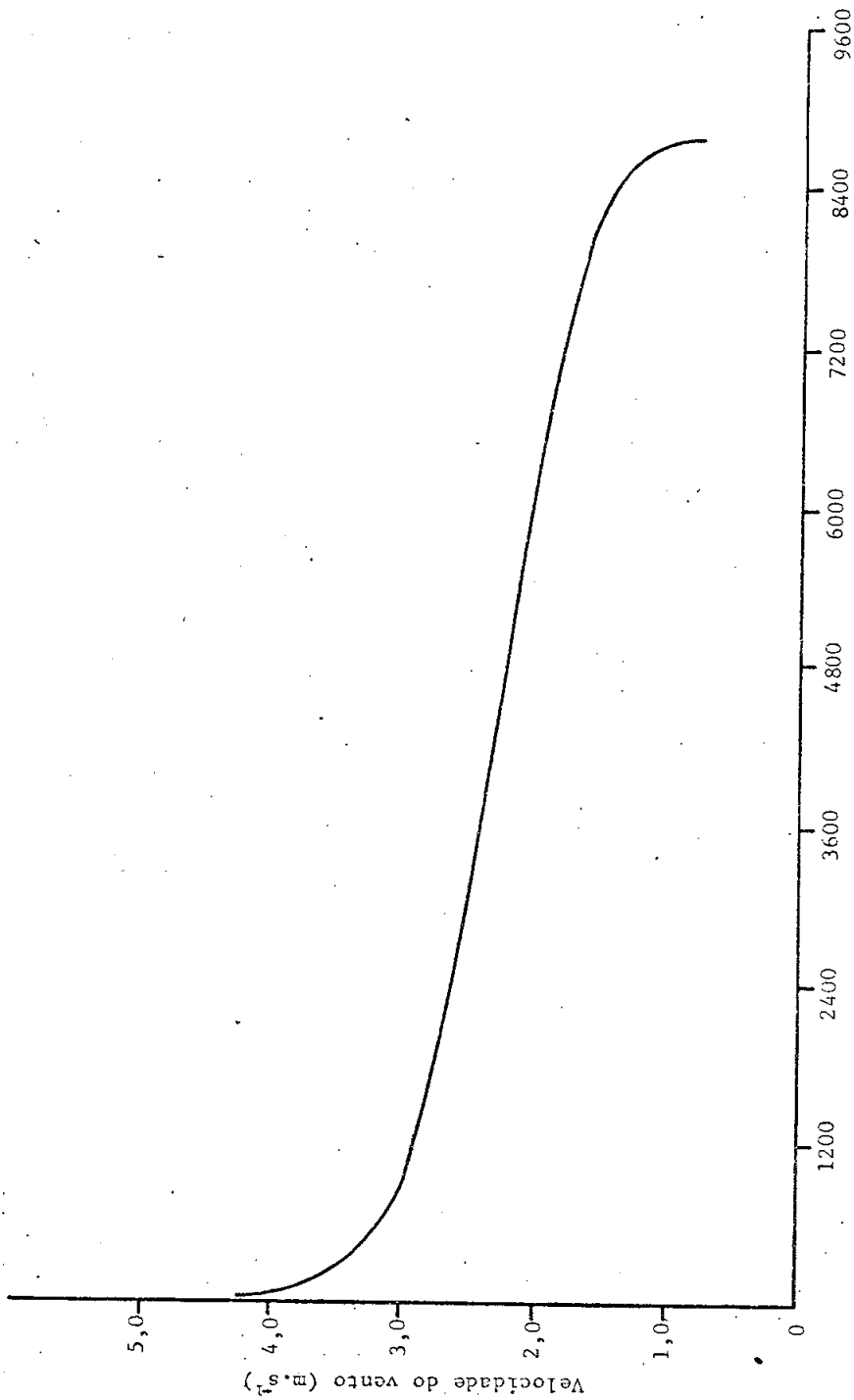


FIGURA 6 - Curva de duração da velocidade do vento para Votuporanga (total diário = 24 horas).

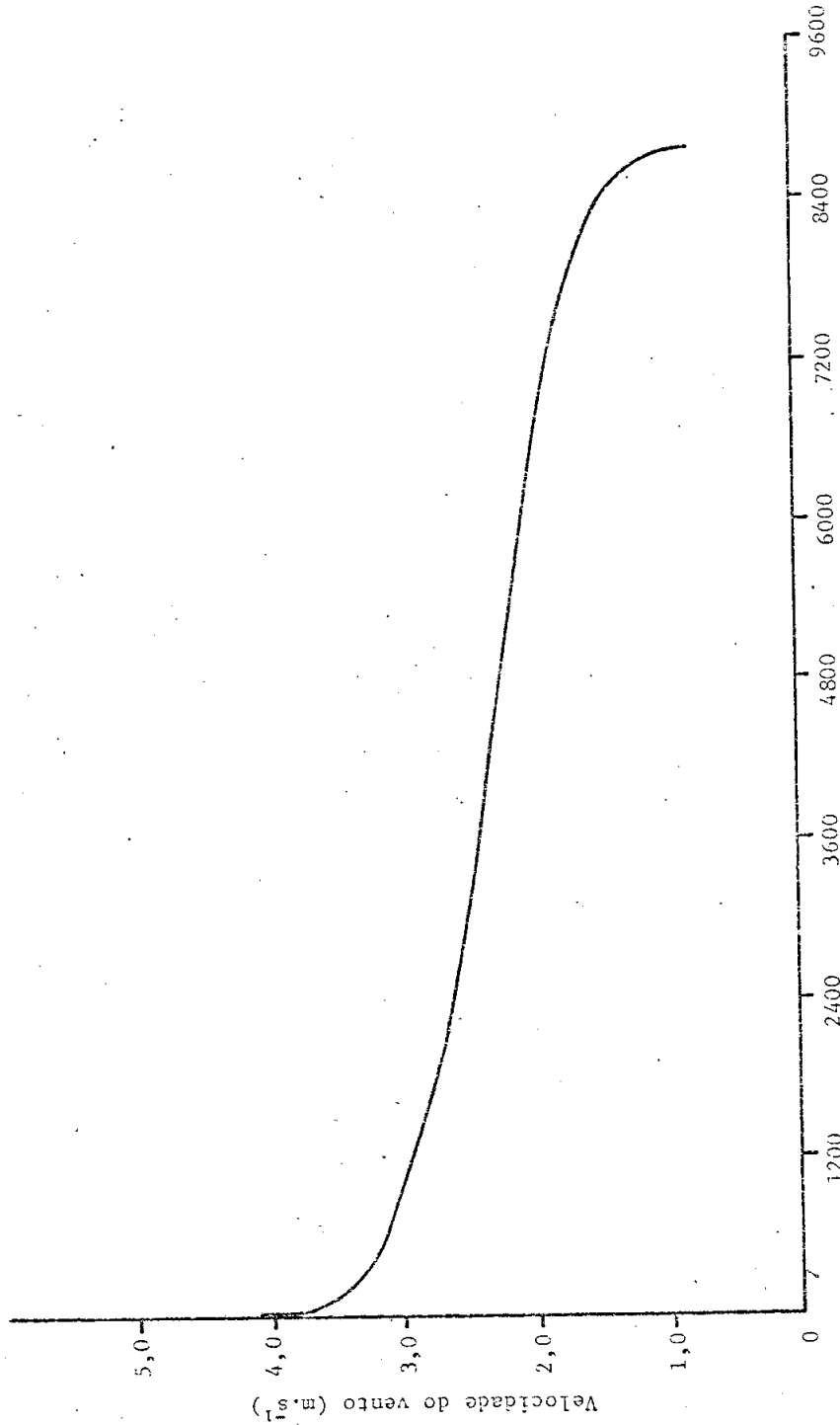


FIGURA 7 - Curva de duração da velocidade do vento para Ibitinga (total diário - 24 horas).

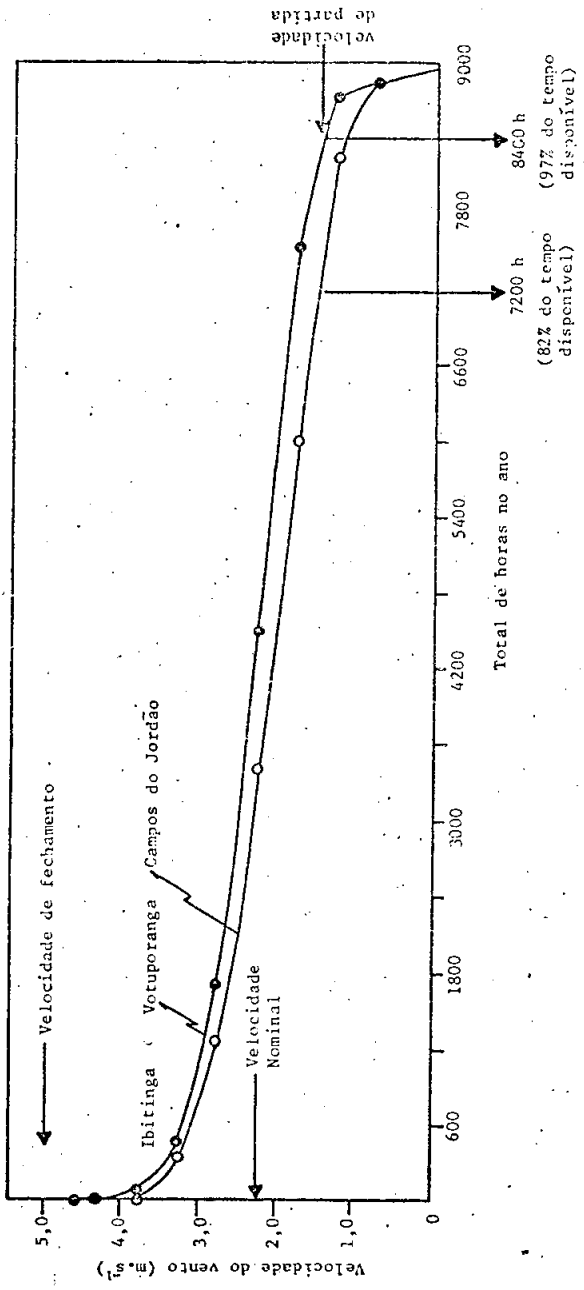


FIGURA 8 - Curva de duração da velocidade do vento em três localidades do Estado de São Paulo.

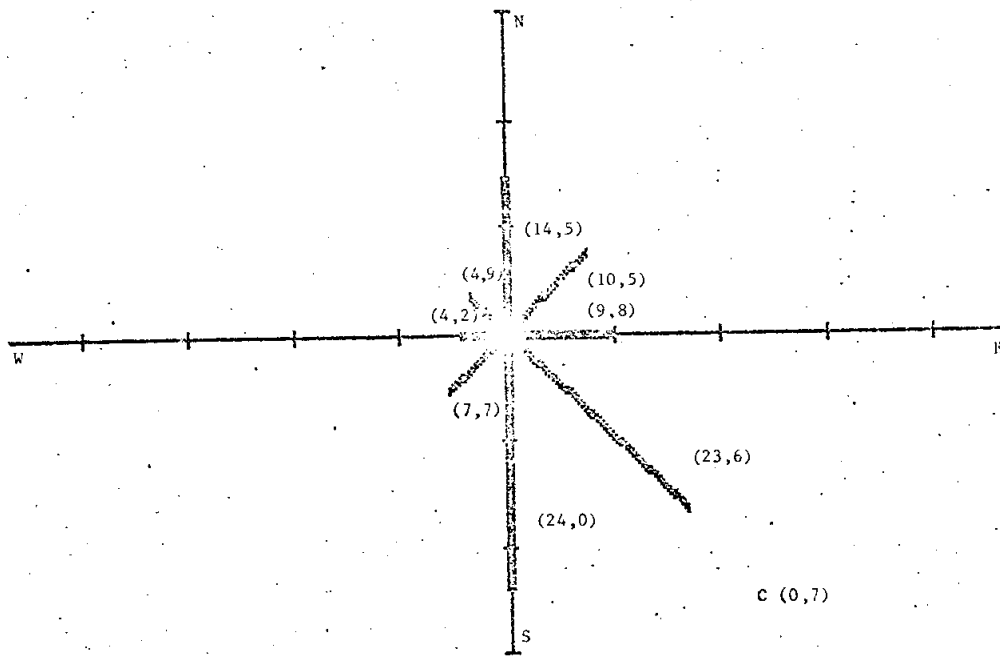


FIG. 9 - DIR. UNITO-NOTURNO (CONTINUADO)

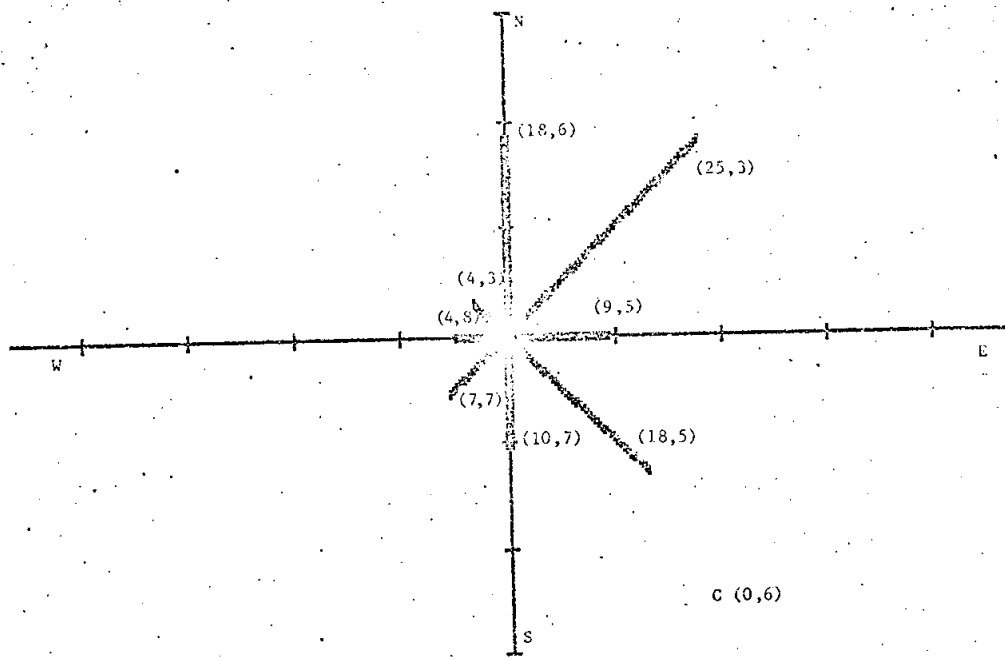


FIG. 10-DIA. VENTO-UNIFORME-FILOSPH 23/70

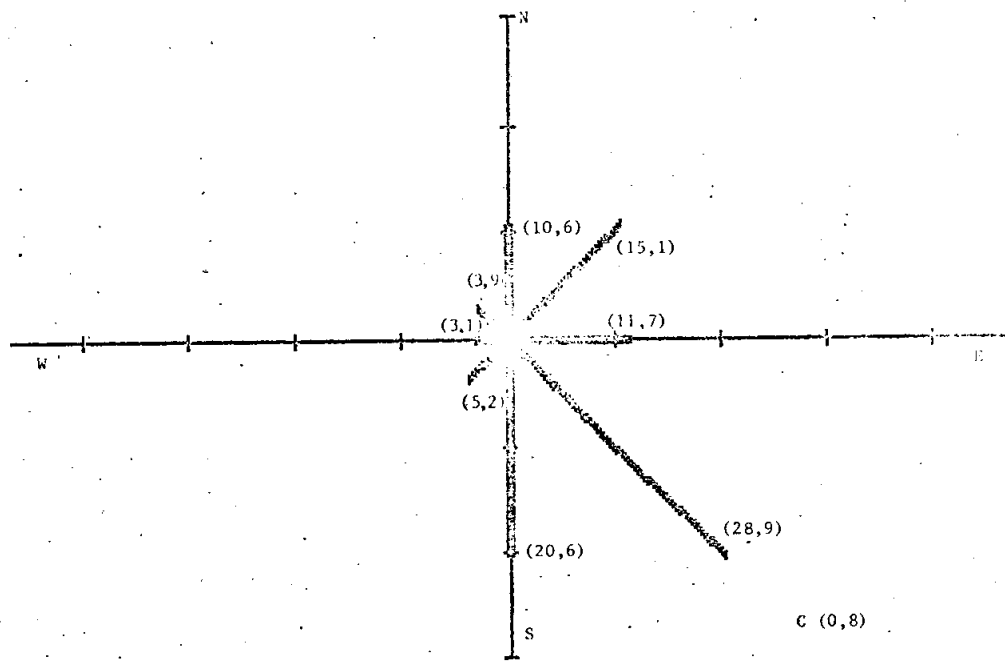


FIG. 11 - DIR. VENTO-QUADRANTE CLIMOG/70

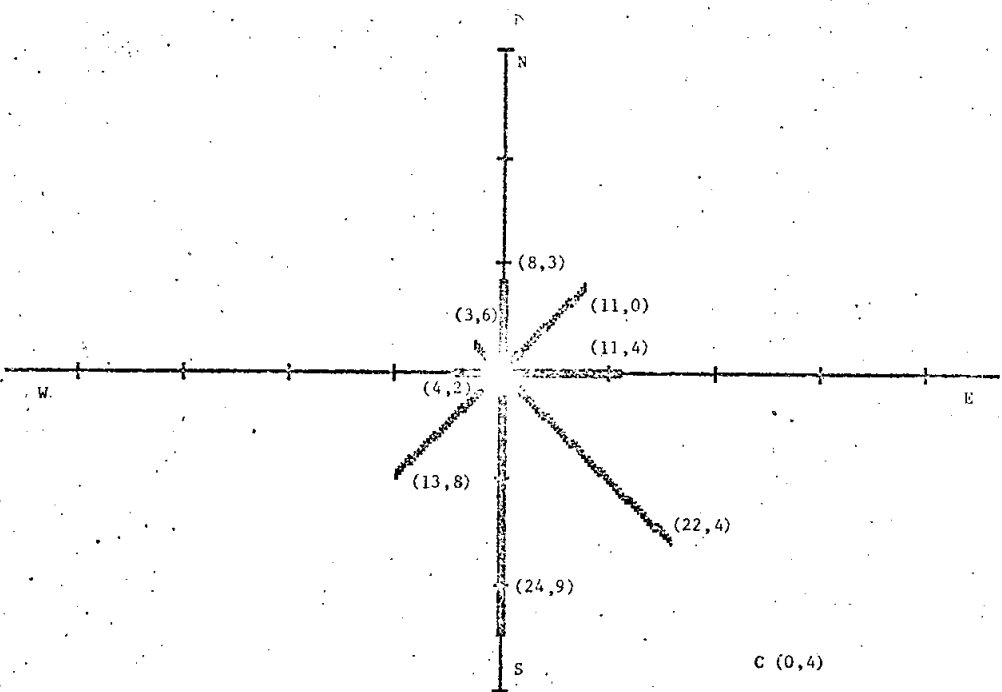


FIG. 12 - DIR. VENTO-VOTUPORANGA (ADRIEL/79)

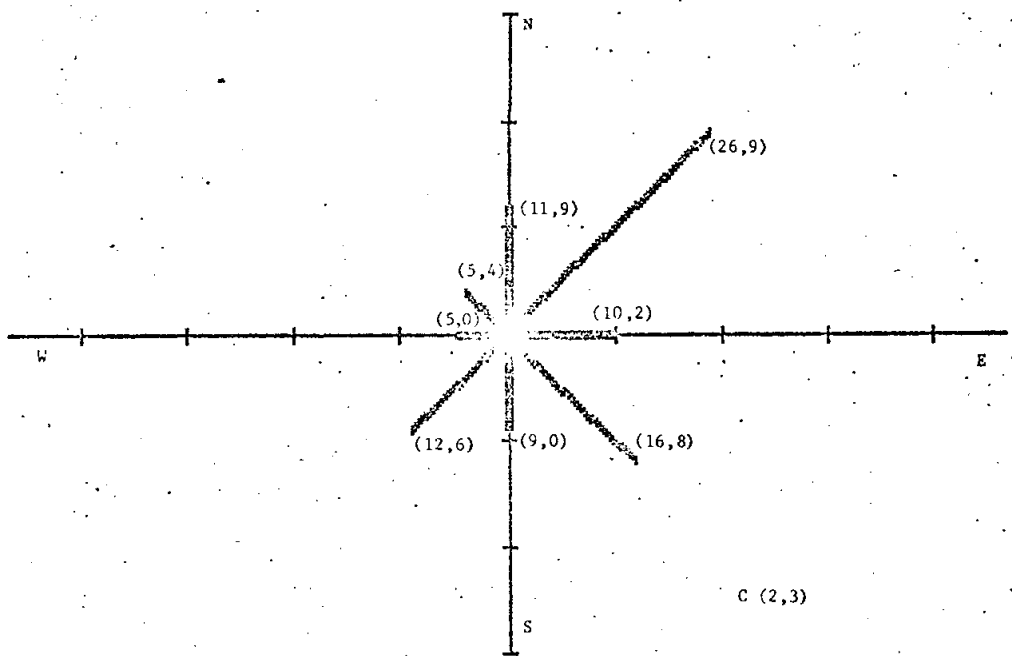


FIG. 13 - DIR. VENTO - VOTUPORANGA (MAIO/79)

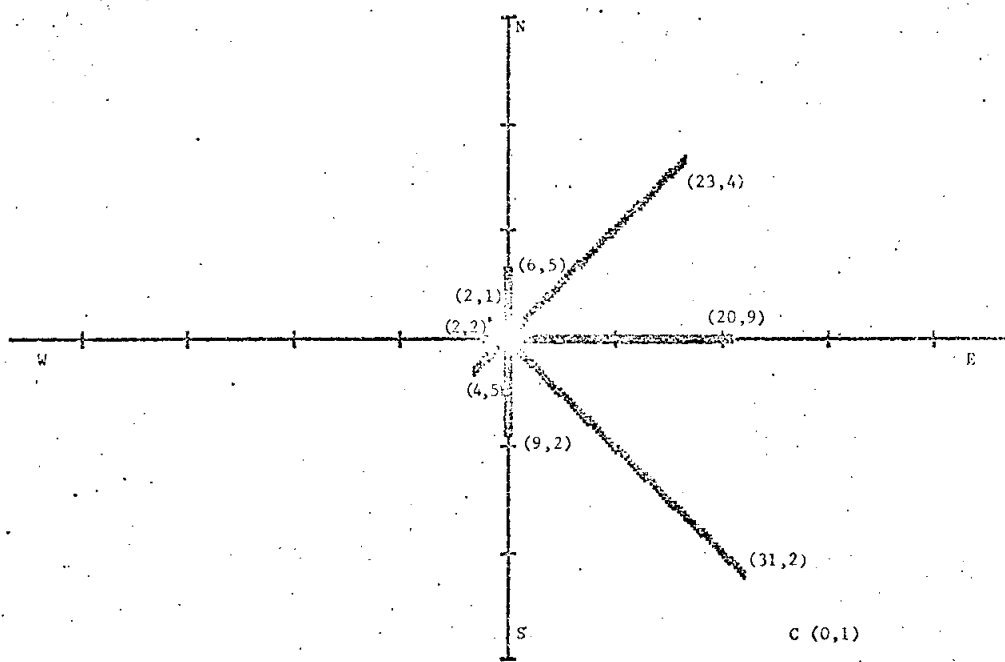


FIG. 14 - DIR. VENTO-VOTUPORANGA (JUNHO/70)

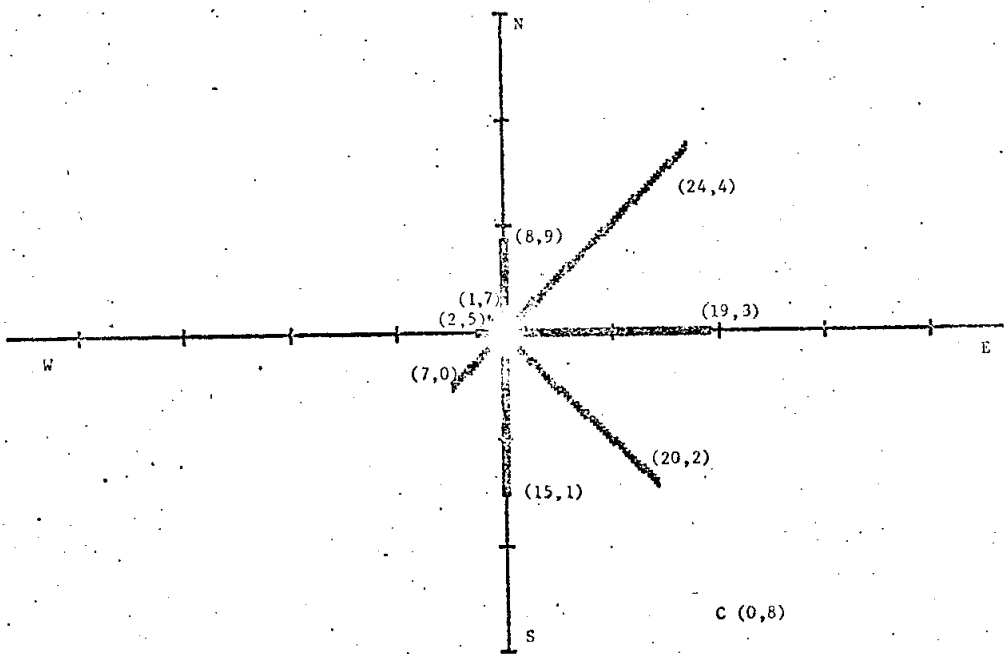


FIG. 15 - DIR. VIENTO-UOTUPOKANGA (JULIO/72)

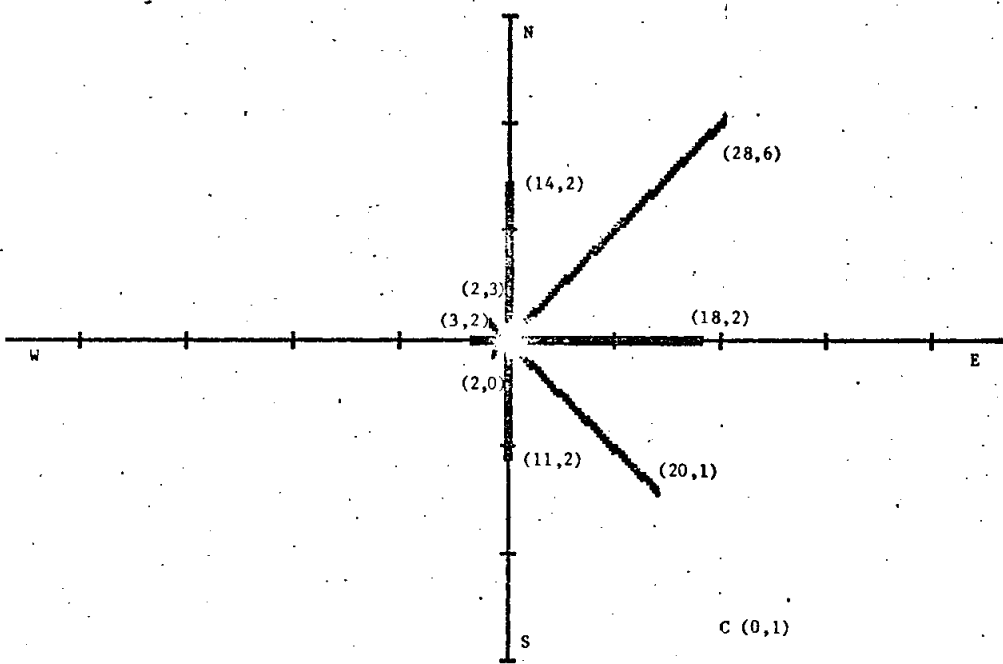


FIG. 16 - DIR. VENTO - VOTUPORANGA (AGOSTO/79)

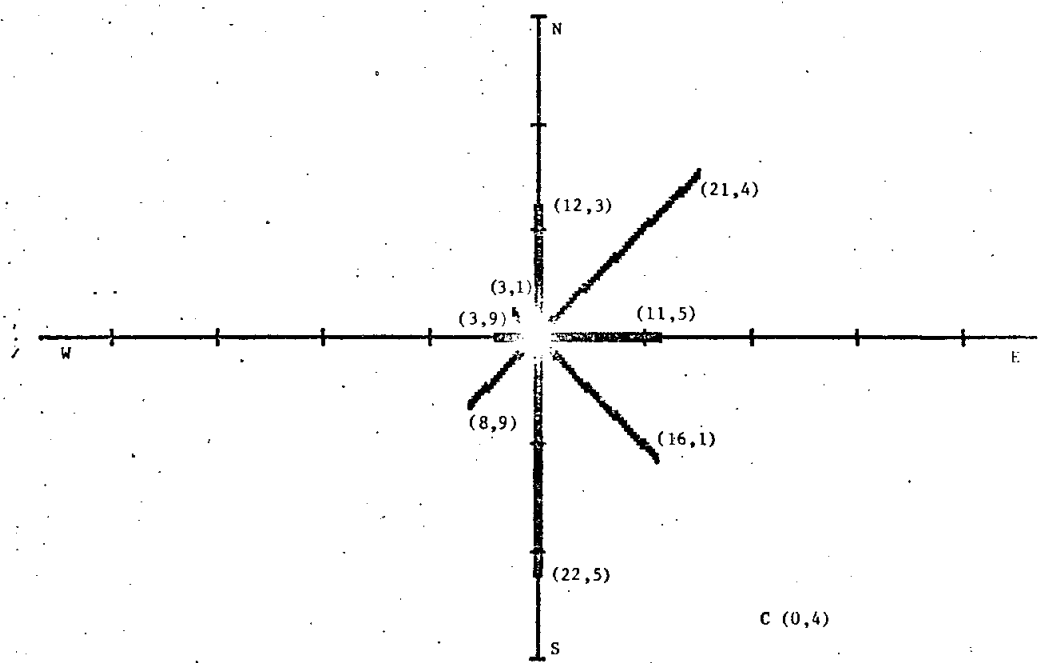


FIG. 17 - DIR. VENTO - UOTUPOORANGA (SETEMBRO/72)

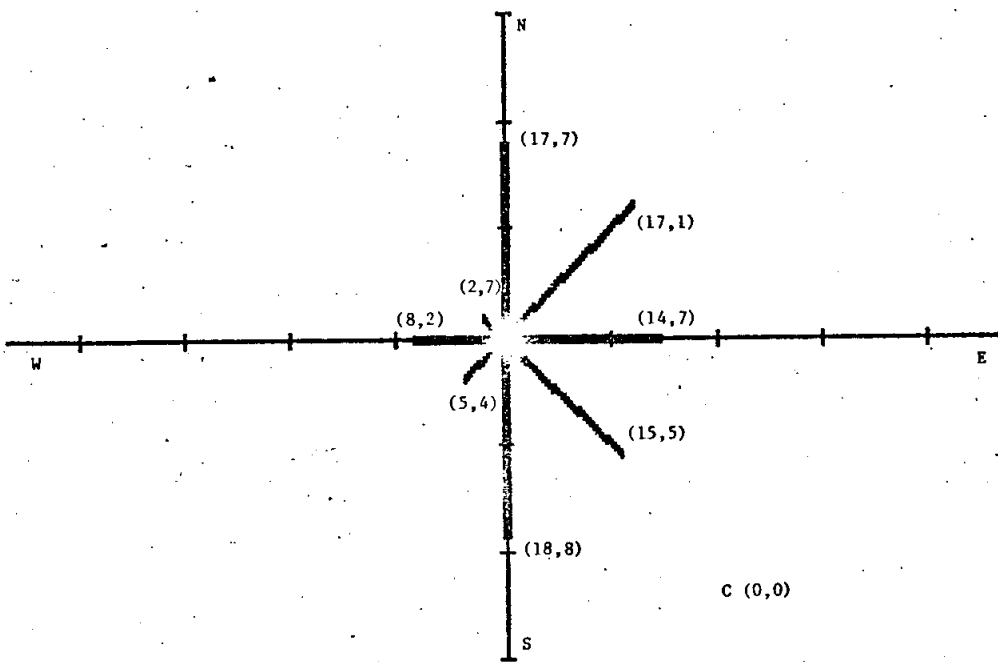


FIG. 18 - DIR. VENTO - VOTUPORANGA (OUTUBRO/79)

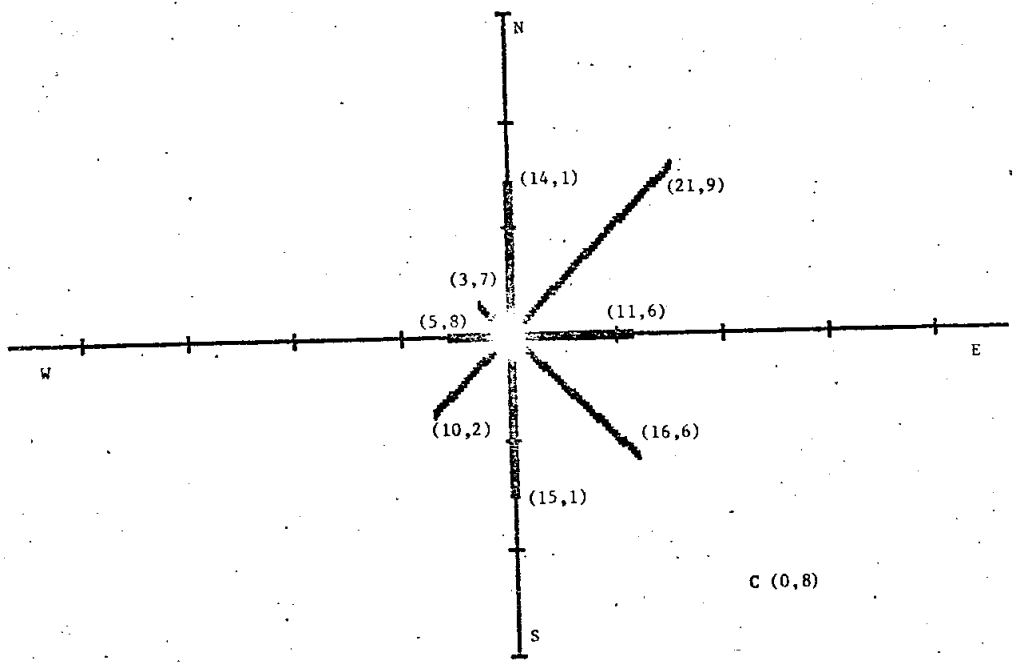


FIG. 19 - DIR. DO VENTO - UOTUPORANGA (NOVEMBRO)

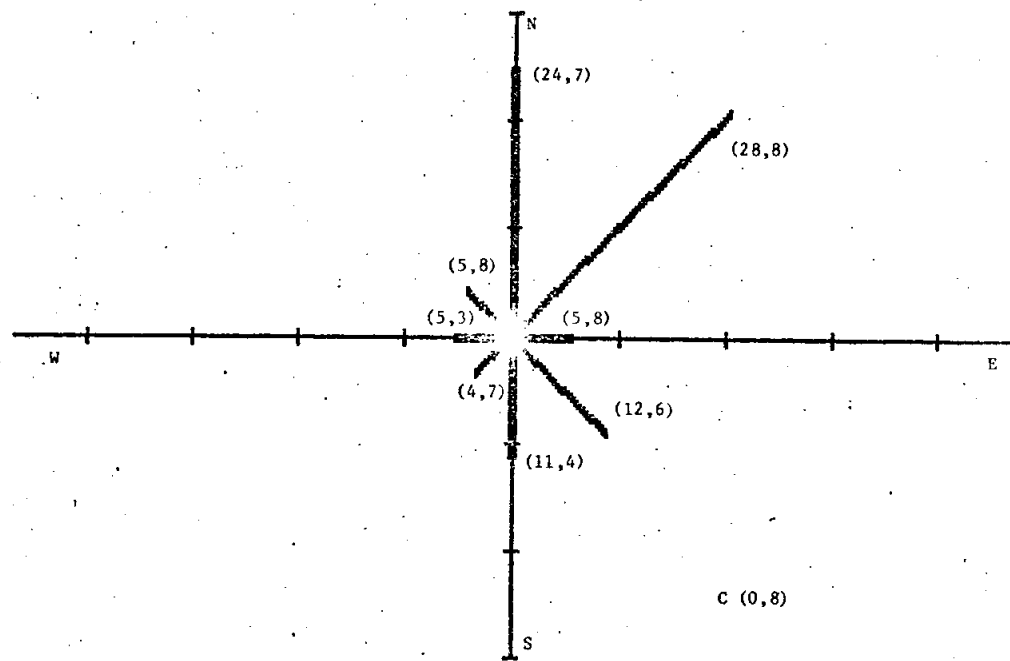


FIG. 20 - DIR. DO VENTO - VOTUPORANGA (DEZEMBRO)

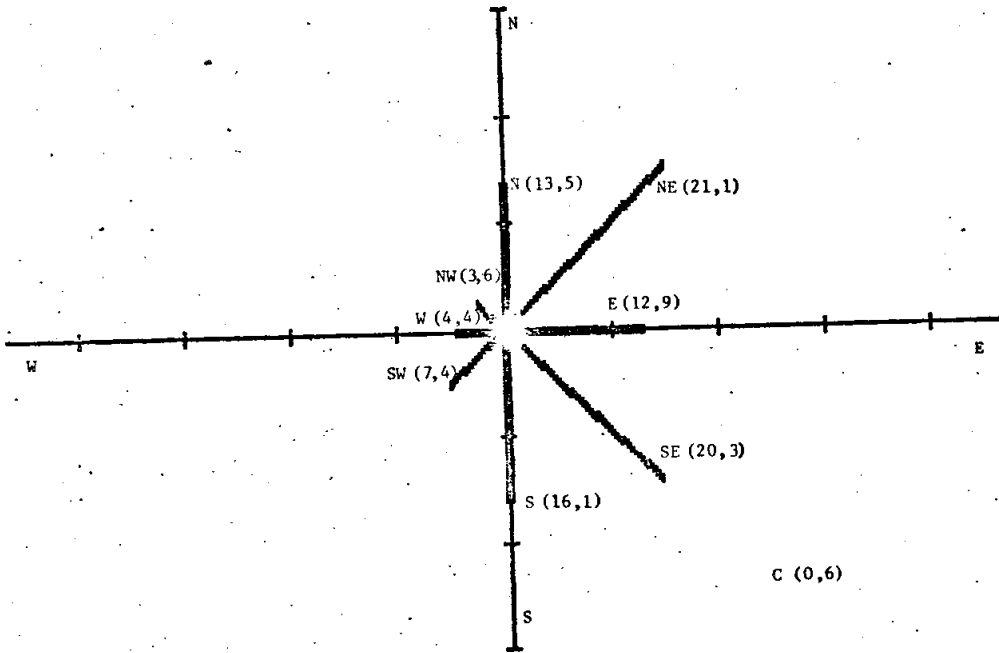


FIG. 21 - DIR. DO VENTO - VOTUPORANGA/79